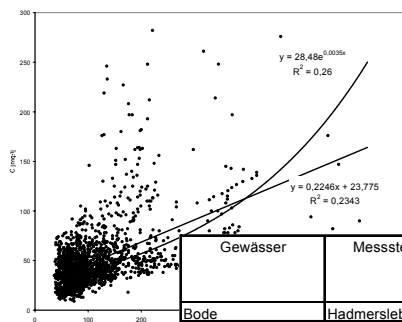
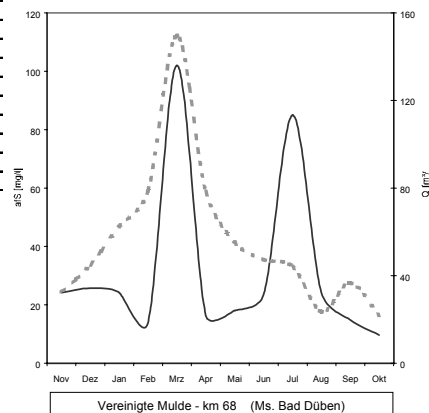


## Bedeutung der Nebenflüsse für den Feststoffhaushalt der Elbe

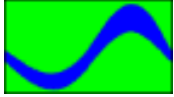
- Band 2 -



Gewässer	Messstelle	Anzahl der Messwerte	Schwebstoffkonzentration_Abfluß_Beziehungen			
			Typ	R <sup>2</sup>	a	b
Bode	Hadmersleben	190	Jahr MW exp	0,58	1,08	8,80
Bode	Neugattersleben	281	Jahr MW lin	0,63	1,41	9,51
Bode	Stassfurt	238	Jahr MW lin	0,92	1,44	3,59
Boize	Boizenburg	132	Jahr Med avn	0,88	2,90	1,72
Ehle	Biederitz	79				
Elde	Domitz	225				
Freiberger Mulde	Berthelsdorf	91				
Freiberger Mulde	Erlin	139				
Freiberger Mulde	Nossen	91				
Freiberger Mulde	Obergruna	82				
Havel	Alt Töplitz	265				
Havel	Brandenburg	258				
Havel	Havelberg	103				
Havel	Hennigsdorf	267				



## Messstellenübersicht, Zahlentafeln und Diagramme zum Schwebstoffhaushalt der Elbenebenflüsse



## **Bedeutung der Nebenflüsse für den Feststoffhaushalt der Elbe**

### Messstellenübersicht, Zahlentafeln und Diagramme zum Schwebstoffhaushalt der Elbenebenflüsse

- Band 2 -

Dieses Vorhaben wurde mit Mitteln des Bundesministeriums  
für Bildung und Forschung (BMBF) unter dem  
Förderkennzeichen 0339600/1 gefördert

**Bearbeitung:**

Dipl.-Geogr. S. Naumann

Dipl.-Ing. S. Schriever (ab 02/01)

Dipl.-Ing. M. Möhling (11/99–12/00)

Dipl.-Ing. O. Hansen (05/99–10/99)

**Projektleiter:**

Prof. Dr. E. Gölz

Dr.-Ing. A. Schmidt (bis 08/99)

Bundesanstalt für Gewässerkunde

Kaiserin-Augusta-Anlagen 15-17

56068 Koblenz

## **Inhaltsverzeichnis**

- |          |   |   |
|----------|---|---|
| <b>A</b> | <b>Nebenflussverzeichnis Elbe-Einzugsgebiet</b><br>nach Mündungskilometer Elbe<br>alphabetisch  | A - 1 bis A - 2<br>A - 3 bis A - 4                    |
| <b>B</b> | <b>Ergebnisse der Luftbild- und Kartenauswertung</b>  |   |
| <b>C</b> | <b>Schwebstoff-Messstellenverzeichnis Elbe-EZG</b>  |   |
| <b>D</b> | <b>Verzeichnis der Bezugspegel</b><br>Nach BP-Nr.<br>Nach Flussgebiet   | D - 1 bis D - 3<br>D - 4 bis D - 6                    |
| <b>E</b> | <b>Verzeichnis der Betreiber</b>  |   |
| <b>F</b> | <b>Zahlentafeln und Diagramme zum Schwebstoffhaushalt der Elbenebenflüsse</b>   |   |
| <b>G</b> | <b>Mündungnahe Korngrößenzusammensetzung der Sohle, des suspendierten Sandes und des Geschiebes</b>   |   |
| <b>H</b> | <b>Regressionsbeziehungen (Q-C, Q-T, Q-F)</b><br>Schwebstoffkonzentration-Abfluss-Beziehung über Abflussklassen<br>Transport-Abfluss-Beziehung aus Tageswerten<br>Jahresfracht-Abfluß-Beziehungen aus MQ-Jahr | H - 1 bis H - 2<br>H - 3 bis H - 4<br>H - 5 bis H - 6 |
| <b>J</b> | <b>Ergebnisse der Recherche zu Feststoffablagerungen und Sedimentationsraten im Elbe-EZG</b>  |   |